

## Laboratorní úloha

# Fraunhoferův ohyb světla na štěrbině a mřížce

## 1.1 Úkol měření

1. Pro dvě šířky štěrbin a dvě vlnové délky ověřte platnost vzorce pro Fraunhoferův ohyb na štěrbině.
2. Určete mřížkovou konstantu ohybové optické mřížky, měření proveďte pro dvě vlnové délky.
3. S využitím optické mřížky, zjistěte vlnovou délku světla laserového ukazovátka.

## 1.2 Teoretický úvod

### 1.2.1 Ohyb světla

O ohybu (difrakci) světla (či obecně vlny) hovoříme v případě, kdy se světlo (vlna) nešíří přímočaře, ale za překážkami zahýbá do oblasti geometrického stínu, aniž by přitom docházelo k jeho lomu či odrazu. Ohyb světla je projevem jeho vlnové povahy a v praxi hraje velmi důležitou úlohu, neboť například ovlivňuje vlastnosti optických přístrojů.

Vyšetřování ohybu světla je vlastně výpočet pole, které vzniká při průchodu elektromagnetických vln v okolí překážek. Jde tedy o úlohu řešení Maxwellových rovnic za daných okrajových podmínek. Obecně se jedná o dosti komplikovanou úlohu, kterou však lze často řešit v různých stupních aproximace za zjednodušujících podmínek, které přesto poskytují uspokojivé výsledky.

Zde se omezíme na skalární teorii, která nebere v potaz vektorový charakter elektromagnetického pole<sup>1</sup>. Dále budeme předpokládat, že apertury (stínítka se štěrbinami a pozorovací stínítka) jsou velmi tenké a pole v jejich rovině je stejné jako pole (vlna) dopadající. Budeme tedy předpokládat, že těsně za stínítkem se štěrbinami je v místě štěrbin pole dopadající vlny a mimo štěrbin je pole nulové.

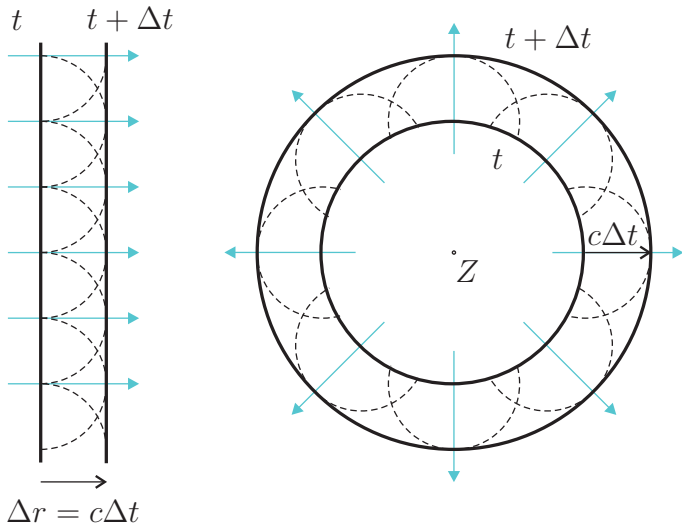
Úlohu vyšetřování ohybu světla zde budeme řešit pomocí Huygensova-Fresnelova principu.

### 1.2.2 Huygensův-Fresnelův princip

Představu o světle jako o vlnách použil již koncem 17. století Christian Huygens, aby objasnil mechanismus jeho šíření.

---

<sup>1</sup>Skalární teorii lze používat v případech, kdy se v daném místě prostoru skládají příspěvky vln, které jsou téměř rovnoběžné.



Obrázek 1.1: K Huygensovu principu: vlevo – rovinná vlna, vpravo – kulová vlna.

Podle tzv. *Huygensova principu* se vlnění šíří tak, že všechny body vlnoplochy v každém časovém okamžiku  $t$  mohou být považovány za bodové zdroje elementárních vln. Elementární vlny se šíří směrem od těchto bodů a výsledná vlnoplocha v některém z dalších časů  $t + \Delta t$  je dána obálkou (obalovou plochou) těchto elementárních vlnoploch.

V homogenním a izotropním prostředí je elementární vlna kulová a pro poloměr elementární vlnoplochy platí  $\Delta r = c\Delta t$ , kde  $c$  je rychlost šíření vlny.

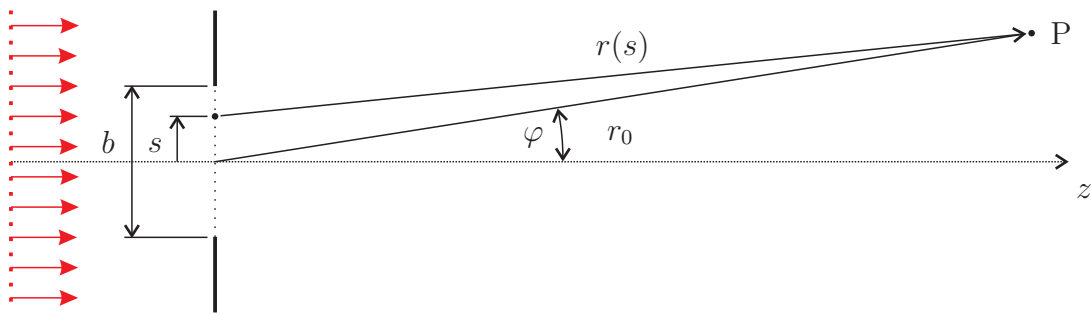
Na počátku 19. století doplnil Huygensův princip Augustin-Jean Fresnel, podle nějž sekundární vlny interferují, tedy skládají se s příslušným fázovým rozdílem (*Huygensův-Fresnelův princip*).

### 1.2.3 Ohyb světla na štěrbině

Předpokládejme, viz obrázek 1.2, že na stínítko se štěrbinou šířky  $b$  dopadá kolmo rovinná harmonická elektromagnetická vlna o kmitočtu  $\omega$ . Díky kolmému dopadu má vlna v rovině štěrbině konstantní fázi, kterou bez újmy na obecnosti položíme rovnou nule. Hledáme výslednou amplitudu (intenzitu) světla v obecném bodě P, jako výsledek skládání Huygensových elementárních vln podle Huygensova-Fresnelova principu. Pro příspěvek pole<sup>2</sup> z elementu plochy štěrbině  $dS$  tedy platí

$$d\tilde{E}_P = \frac{E_D dS}{r} e^{j(kr - \omega t)}, \quad (1.1)$$

kde  $E_D$  je úměrné amplitudě vlny osvětlující štěrbinu ( $E_D dS$  je amplituda elementární vlny vysílané elementem  $dS$  v jednotkové vzdálenosti),  $r$  je vzdálenost elementu  $dS$  a (pevného) bodu P a  $k = \omega/c$  je vlnové číslo, kde  $c$  je rychlost světla.



Obrázek 1.2: K ohybu světla na štěrbině.

Vzdálenost  $r$  závisí na poloze bodu P a elementu  $dS$ . Dále si výpočet zjednodušíme tak, že elementem plochy  $dS$  budeme chápat elementární proužek<sup>3</sup> šířky  $ds$  podél celé štěrbině. Označíme-li  $r_0$  vzdálenost bodu P od středu štěrbině, můžeme, viz obrázek 1.2, psát

$$r = r(s) = r_0 + \Delta(s),$$

<sup>2</sup>Abychom si zjednodušili výpočty, budeme harmonicky časově proměnné veličiny reprezentovat pomocí komplexních fázorů označovaných vlnovkou:  $A_0 \cos(\omega t - \varphi) = \Re[A_0 e^{j(\varphi - \omega t)}] = \Re[A_0 e^{j\varphi} e^{-j\omega t}] = \Re[\tilde{A}_0 e^{-j\omega t}]$ .

<sup>3</sup>Tímto se vyhneme výpočtu plošného integrálu.

kde  $s$  je orientovaná vzdálenost elementu  $dS$  (proužku) od středu štěrbinu. Výsledné pole v bodě P dostaneme integrací (součtem všech elementárních příspěvků) přes celou štěrbinu. Označíme-li  $E_L$  amplitudu v jednotkové vzdálenosti emitovanou jednotkovou šířkou štěrbinu, můžeme psát

$$\tilde{E}_P = \int_{-b/2}^{b/2} \frac{E_L}{r_0 + \Delta(s)} e^{j\{k[r_0 + \Delta(s)] - \omega t\}} ds. \quad (1.2)$$

Abychom mohli integrál (1.2) analyticky spočítat, je třeba provést následující úpravy. Ve jmenovateli integrálu nahradíme  $r_0 + \Delta(s) \approx r_0$ , čímž se nedopustíme velké chyby, pokud  $|\Delta(s)| \ll r_0$ . Toto zjednodušení nelze provést v argumentu exponenciály, neboť zde je dráhový rozdíl  $\Delta$  vynásoben vlnovým číslem ( $k = 2\pi/\lambda$ , kde  $\lambda$  je vlnová délka) a tedy dráhový rozdíl  $\Delta = \lambda/2$  odpovídá fázovému rozdílu  $\pi$ . Budeme tedy počítat trochu přesněji. Z obrázku 1.2 snadno nahlédneme, že platí

$$r^2 = r_0^2 - 2r_0s \sin \varphi + s^2 \approx r_0^2 - 2r_0s \sin \varphi \quad \Rightarrow \quad r = r_0 \sqrt{1 - \frac{2s \sin \varphi}{r_0}}.$$

Jelikož podle výše použitých předpokladů platí  $|s| \ll r_0$ , je druhý člen pod odmocninou v absolutní hodnotě výrazně menší než jedna a celou odmocninu tak můžeme aproximovat prvními dvěma členy Taylorova rozvoje ( $\sqrt{1-x} \approx 1 - x/2$ , pokud  $|x| \ll 1$ ), takže dostaneme

$$r \approx r_0 - s \sin \varphi \quad \Rightarrow \quad \Delta(s) \approx -s \sin \varphi. \quad (1.3)$$

Dosažením obou zjednodušení do integrálu (1.2) tak dostaneme

$$\tilde{E}_P = \frac{E_L}{r_0} e^{j(kr_0 - \omega t)} \int_{-b/2}^{b/2} e^{-jks \sin \varphi} ds = \frac{bE_L}{r_0} e^{j(kr_0 - \omega t)} \frac{\sin\left(k\frac{b}{2} \sin \varphi\right)}{k\frac{b}{2} \sin \varphi}, \quad (1.4)$$

kde bylo využito známé identity  $\sin \alpha = (e^{j\alpha} - e^{-j\alpha})/2j$ .

Protože je pro nás zpravidla namísto amplitudy intenzity elektrického pole zajímavější intenzita záření (světla), která je úměrná druhé mocnině velikosti intenzity elektrického pole,  $I \propto |\tilde{E}|^2$ , můžeme pro intenzitu světla pod úhlem  $\varphi$  za štěrbinou ve vzdálenosti  $r_0$  psát

$$I = I_0 \left( \frac{\sin \beta}{\beta} \right)^2, \quad \text{kde } \beta = k\frac{b}{2} \sin \varphi, \quad (1.5)$$

kde  $I_0$  je intenzita světla vyzařovaného pod úhlem  $\varphi = 0$  ve vzdálenosti  $r_0$ . Graf funkce (1.5) je zachycen na obrázku 1.3. Z průběhu funkce je patrné, že pokud platí

$$\beta = k\frac{b}{2} \sin \varphi_m = m\pi, \quad \text{kde } m = \pm 1, \pm 2, \dots, \quad (1.6)$$

Obrázek 1.3: Intenzita světla za štěrbinou.

je intenzita světla v daném směru  $\varphi_m$  nulová, pokud bychom za štěrbinu umístili stínítko, pozorovali bychom v daných směrech tmavé proužky (interferenční minima). Podmínku pro minima (1.6) můžeme použitím vztahu  $k = 2\pi/\lambda$  přepsat do tvaru.

$$b \sin \varphi_m = m\lambda, \quad m = \pm 1, \pm 2, \dots \quad (1.7)$$

Pro  $m = 0$  je ve funkci (1.5) nulový čitatel i jmenovatel a platí známý vztah<sup>4</sup>

$$\lim_{\beta \rightarrow 0} \frac{\sin \beta}{\beta} = 1,$$

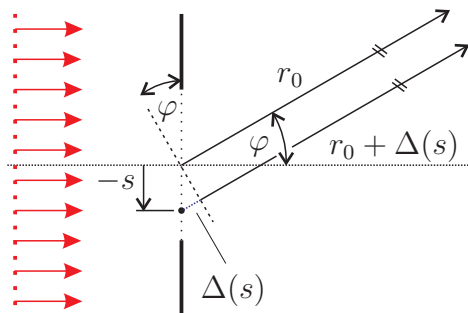
<sup>4</sup>O tom se snadno přesvědčíme l'Hospitalovým pravidlem.

v tomto případě se jedná o hlavní (centrální) interferenční maximum. Polohy ostatních maxim najdeme standardním způsobem, který vede na transcendentní rovnici

$$\tan \beta = \beta,$$

kterou můžeme řešit numericky na počítači<sup>5</sup>, dostaneme tak  $\beta_{\max} = 0, \pm 1,43\pi, \pm 2,46\pi, \pm 3,47\pi, \dots$ , takže podmínku pro maxima můžeme přepsat do tvaru

$$b \sin \varphi_{\mu} = \mu \lambda, \quad \mu = 0, \pm 1,43, \pm 2,46, \pm 3,47, \pm 4,48, \dots \quad (1.8)$$



Obrázek 1.4: Fraunhoferova aproximace.

Platnost vzorce (1.5) a z něj vyvozených závěrů je podmíněna platností předpokladu (1.3) o dráhovém rozdílu pro jednotlivé příspěvky. Této aproximaci říkáme Fraunhoferova a volně mluvíme o tzv. Fraunhoferově ohybu světla. Vztah (1.3) platí přesně tehdy, když se bod P, ve kterém pole vyšetřujeme, nachází v nekonečné vzdálenosti od štěrbinu a interferující vlny, které do bodu P přicházejí, můžeme považovat za rovnoběžné, viz obrázek 1.4. V praxi se tohoto dá dosáhnout tak, že těsně za štěrbinu se umístí spojná čočka<sup>6</sup> a ohybový obrazec se pozoruje v její ohniskové rovině. Pokud není štěrbinu spojnou čočkou vybavena, je potřeba, aby byly výše zmíněné předpoklady splněny, ohybový obrazec pozorovat v *dostatečné vzdálenosti*, jejíž minimální velikost lze odhadnout následující

úvahou.

Úhlovou šířku (rozbíhavost) svazku  $\Delta\varphi$  světla za štěrbinou lze definovat pomocí prvních minim obklopujících centrální maximum ( $m = \pm 1$ ) jako

$$\Delta\varphi = 2 \arcsin \left( \frac{\lambda}{b} \right) \approx \frac{2\lambda}{b},$$

jelikož zpravidla  $\lambda/b \ll 1$ . Odtud je jednoduše vidět, že svazek světla za štěrbinou je tím rozbíhavější, čím je štěrbinu užší. Ve vzdálenosti  $L$  za štěrbinou by tedy podle předchozího vztahu měl mít svazek šířku

$$w \approx L\Delta\varphi = \frac{2\lambda L}{b}.$$

Protože je rozumné předpokládat, že svazek za štěrbinou by měl být širší než šířka štěrbinu, tedy  $w > b$ , dostaneme dosazením do předchozího vztahu  $L > b^2/2\lambda$ . Odtud tedy dostaneme odhad použitelnosti Fraunhoferovy aproximace

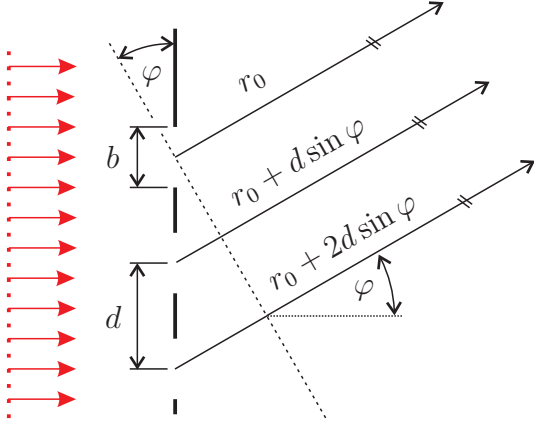
$$L \gg \frac{b^2}{\lambda}. \quad (1.9)$$

## 1.2.4 Ohyb světla na optické mřížce

Optickou mřížkou nazýváme soustavu  $N$  rovnoběžných štěrbin. Nechť šířka každé ze štěrbin je  $b$  a nechť jejich středové vzdálenosti jsou  $d$ , viz obrázek 1.5. Vzájemnou vzdálenost štěrbin  $d$  označujeme jako mřížkovou konstantu. Pole za optickou mřížkou vyšetříme opět ve Fraunhoferově aproximaci.

<sup>5</sup>Například pomocí programu Maple, který mají studenti ČVUT k dispozici v rámci multilicence.

<sup>6</sup>Z geometrické optiky víme, že rovnoběžné paprsky vstupující do dokonalé spojně čočky jsou fokusovány do jednoho bodu ležícího v ohniskové rovině čočky.



Obrázek 1.5: Oprická mřížka.

Vztah pro dráhové rozdíly příspěvků z  $n$ -té štěrbině dostaneme úpravou vztahu (1.3) do tvaru

$$\Delta_n(s) \approx -s \sin \varphi + nd \sin \varphi.$$

Výsledné pole vypočteme úpravou integrálu (1.2):

$$\begin{aligned} \tilde{E}_P &= \sum_{n=0}^{N-1} \int_{-b/2}^{b/2} \frac{E_L}{r_0} e^{j\{k[r_0 + \Delta_n(s)] - \omega t\}} ds = \\ &= \frac{E_L}{r_0} e^{j(kr_0 - \omega t)} \underbrace{\int_{-b/2}^{b/2} e^{-jks \sin \varphi} ds}_{\text{vztah (1.4)}} \sum_{n=0}^{N-1} e^{jkn d \sin \varphi}. \end{aligned} \quad (1.10)$$

První část předchozího výrazu byla vypočtena výše, druhou upravíme pomocí vzorce pro součet geometrické řady<sup>7</sup>, pro jednoduchost zavedeme

$$\alpha = k \frac{d}{2} \sin \varphi, \quad (1.11)$$

takže

$$\begin{aligned} \sum_{n=0}^{N-1} e^{jkn d \sin \varphi} &= \sum_{n=0}^{N-1} (e^{2j\alpha})^n = \frac{1 - e^{2jN\alpha}}{1 - e^{2j\alpha}} = \frac{1 - e^{2jN\alpha}}{1 - e^{2j\alpha}} \cdot \frac{e^{-jN\alpha}}{e^{-jN\alpha}} \cdot \frac{e^{-j\alpha}}{e^{-j\alpha}} = \\ &= \frac{e^{jN\alpha} - e^{-jN\alpha}}{e^{j\alpha} - e^{-j\alpha}} \cdot e^{j(N-1)\alpha} = e^{j(N-1)\alpha} \frac{\sin N\alpha}{\sin \alpha}. \end{aligned} \quad (1.12)$$

Dosazením do vztahu (1.10) a použitím  $I \propto |\tilde{E}_P|^2$  pro intenzitu světla můžeme psát

$$I = I_0 \left( \frac{\sin \beta}{\beta} \right)^2 \left[ \frac{\sin N\alpha}{\sin \alpha} \right]^2, \quad \text{kde } \beta = k \frac{b}{2} \sin \varphi, \quad \alpha = k \frac{d}{2} \sin \varphi. \quad (1.13)$$

Příklad intenzity světla za optickou mřížkou je zachycen na obrázku 1.6. Člen v kulaté závorce ve vztahu (1.13) reprezentuje ohyb světla na jedné štěrbině [viz vztah (1.5)] a je funkcí šířky štěrbině  $b$ . Vztah v hranaté závorce reprezentuje tzv. mnohosvazkovou interferenci a je funkcí počtu štěrbin  $N$  a mřížkové konstanty  $d$ . Na stínítku za mřížkou jsou pozorovatelná hlavní maxima, která nastávají, pokud platí<sup>8</sup>

$$\sin \alpha = 0 \quad \Rightarrow \quad \alpha = m\pi, \quad \text{kde } m = 0, \pm 1, \pm 2, \pm 3, \dots \quad (1.14)$$

Odtud dostaneme<sup>9</sup>

$$k \frac{d}{2} \sin \varphi_m = m\pi \quad \Rightarrow \quad d \sin \varphi_m = m\lambda, \quad \text{kde } m = 0, \pm 1, \pm 2, \pm 3, \dots \quad (1.15)$$

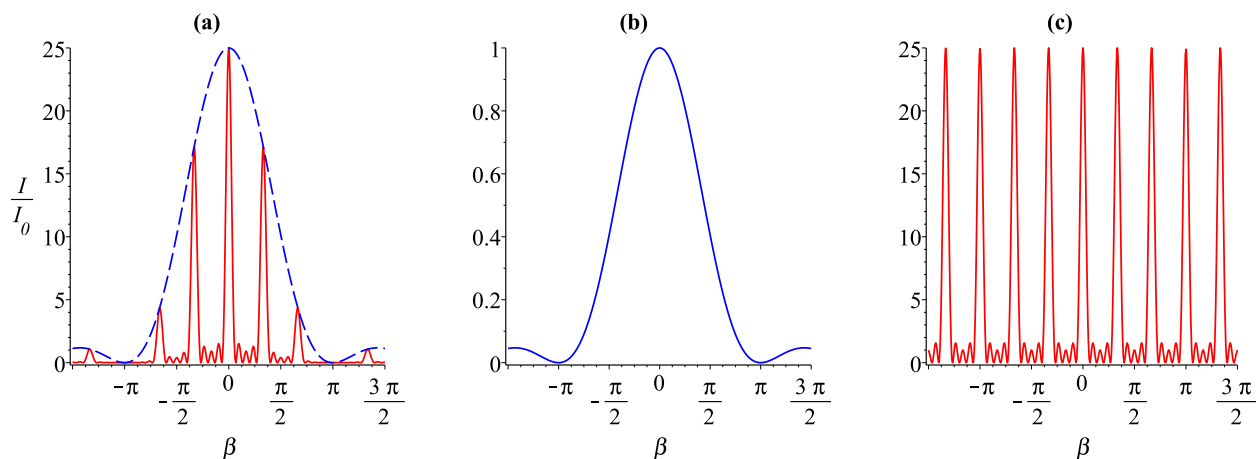
Snadno se přesvědčíme, že

$$\lim_{\alpha \rightarrow m\pi} \left( \frac{\sin N\alpha}{\sin \alpha} \right)^2 = N^2,$$

<sup>7</sup>Pro připomenutí:  $\sum_{n=0}^{N-1} q^n = (1 - q^N)/(1 - q)$ .

<sup>8</sup>Toto zjistíme vyšetřením průběhu funkce v hranaté závorce. I když by se vlastně měl vyšetřovat průběh celé funkce (1.13), funkce v kulaté závorce se zpravidla mění *relativně pomalu* a lze ji v okolí velmi úzkých maxim funkce v hranaté závorce (pro velká  $N$ ) považovat za víceméně konstantní.

<sup>9</sup>Vzorec pro hlavní maxima za optickou mřížkou má formálně shodný tvar jako vzorec pro minima za jednou štěrbinou (pro  $m = 0$  u štěrbině nastává maximum).



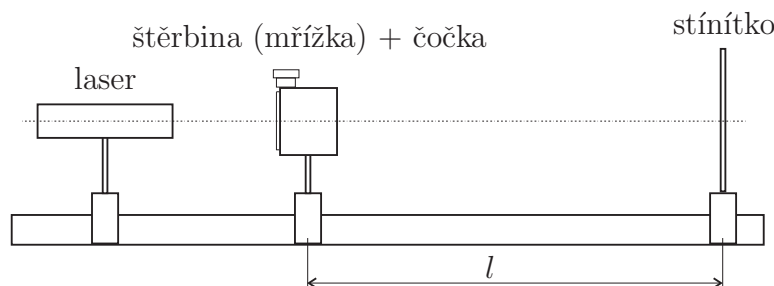
Obrázek 1.6: Intenzita světla za mřížkou (a) je dána součinem funkce  $(\sin \beta/\beta)^2$  odpovídající intenzitě za jednou štěrbinou [obrázek (b)] a funkce  $(\sin N\alpha/\sin \alpha)^2$ , která závisí na počtu štěrbin  $N$  a mřížkové konstantě  $d$  [obrázek (c)]. Zde  $N = 5$ ,  $\alpha = 3\beta$  ( $d = 3b$ ).

intenzita hlavních maxim je tedy úměrná druhé mocnině počtu štěrbin. Čím je štěrbin více, tím jsou hlavní maxima užší. Mezi každými dvěma hlavními maximy se nachází  $N - 2$  slabých maxim vedlejších, která jsou pro velká  $N$  nepozorovatelná. Mezi každými dvěma hlavními maximy se nachází  $N - 1$  minim, která jsou dána nulami funkce v hranaté závorce výrazu (1.13).

## 1.3 Pokyny pro měření

### 1.3.1 Experimentální sestava

Experimentální sestava je zachycena na obrázku 1.7.



Obrázek 1.7: Uspořádání experimentu; vzdálenost  $l$  je daná ohniskovou vzdáleností čočky.

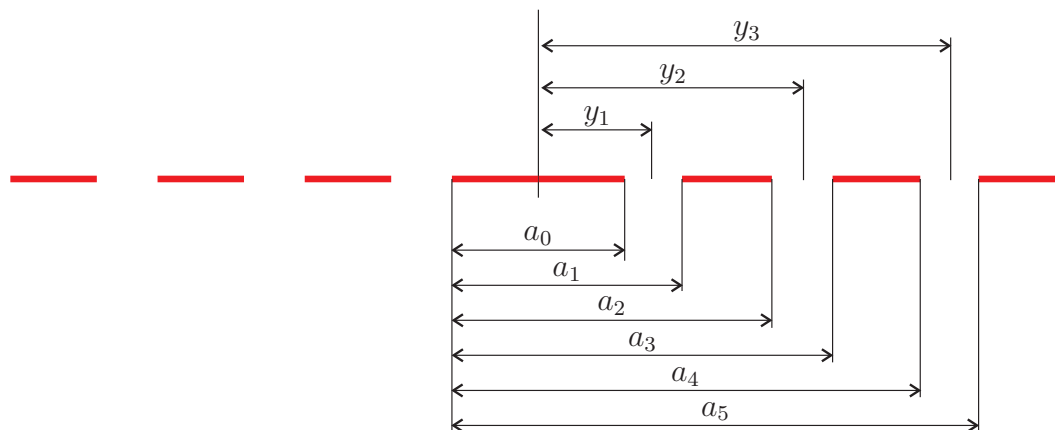
Jako zdroje „rovinné“ monochromatické vlny pro ohybové experimenty zde slouží tři lasery:

- červený helium-neonový laser o vlnové délce  $\lambda = 632,8 \text{ nm}$ ,
- zelený LED laser o vlnové délce  $\lambda = 532 \text{ nm}$  a
- modré LED laserové ukazovátko, jehož vlnovou délku máte určit.

Červený laser je napevno umístěn na optické lavici (nepokoušejte se jej odstranit), zelený a modrý laser vkládejte na optickou lavici před laser červený, který předtím vypněte pomocí klíčku. K bezpečnosti práce s laserem blíže viz odstavec 1.3.3. Jelikož lidský zrak je na zelené světlo

velmi citlivý, můžete si ohybový obrazec zeleného (modrého) laseru ztmavit vložením přídavného optického filtru mezi laser a štěrbinu (mřížku).

Štěrbinu (se šířkou nastavitelnou pomocí mikrometrického šroubu) a mřížka jsou umístěny na přípravku se spojnou čočkou. Přípravky umístějte na optickou lavici (do vzdálenosti  $l$  od stínítka) tak, aby pozorovací stínítko bylo v ohniskové rovině čočky (ohybový obrazec na stínítku je „ostrý“).



Obrázek 1.8: Odečítání poloh středů minim na stínítku.

V případě štěrbin má ohybový obrazec tvar řady světlých úsečků (maxima) oddělených tmavými mezerami (minima). Vzdálenosti středů jednotlivých minim  $y_1, y_2, y_3, \dots$  odečítejte, viz obrázek 1.8, jako

$$y_1 = \frac{a_1 + a_0}{2} - \frac{a_0}{2}, \quad y_2 = \frac{a_3 + a_2}{2} - \frac{a_0}{2}, \quad y_3 = \frac{a_5 + a_4}{2} - \frac{a_0}{2}, \quad \dots$$

Příslušné úhly (anebo rovnou jejich síně) pak můžete vypočítat jako

$$\varphi_i = \arctan\left(\frac{y_i}{l}\right), \quad \sin \varphi_i = \frac{y_i}{\sqrt{y_i^2 + l^2}}. \quad (1.16)$$

V případě optické mřížky má ohybový obrazec (maxima) tvar řady světelných bodů. Jejich vzdálenosti od maxima centrálního  $y_1, y_2, y_3, \dots$  můžete odečítat přímo a pro výpočty příslušných úhlů (jejich sínů) využít vzorce (1.16).

### 1.3.2 Postup měření

1. Na optickou lavici umístěte přípravek se štěrbinou, zapněte červený laser a nastavte polohu přípravku tak, aby byl ohybový obrazec na stínítku ostrý, odečtěte vzdálenost  $l$ .
2. Pro dvě různé šířky štěrbin (nejprve širší a pak užší) proměřte na stínítku (které je opatřeno mikroposuvem) ohybový obrazec (vzdálenosti několika minim) a pomocí vztahů (1.16) a (1.7) vypočtěte šířku štěrbin, kterou porovnejte s hodnotou nastavenou.
3. Vypněte červený laser, na optickou lavici umístěte laser zelený a zapněte jej. Proveďte měření podle bodu 2 pro (užší) šířku štěrbin nastavenou v bodu 2.
4. Přípravek se štěrbinou nahraďte přípravkem s optickou mřížkou, nastavte její vzdálenost  $l$  od stínítka tak, aby byl ohybový obrazec ostrý.
5. Změřte polohy několika maxim a pomocí vzorců (1.16) a (1.15) vypočtěte mřížkovou konstantu optické mřížky.

6. Odstraňte zelený laser a krok 5 zopakujte s laserem červeným.
7. Vypněte červený laser a na optickou lavici umístěte přípravek s laserovým ukazovátkem. Proměřte ohybový obrazec a pomocí mřížkové konstanty vypočtené v kroku 5 a 6 určete vlnovou délku laserového ukazovátka.
8. Vypněte laser.

### 1.3.3 Bezpečnost práce při měření

Laserový paprsek obecně může neopatrnému experimentátorovi poškodit zrak. Červený (helium-neonový) a zelený (LED) laser použitý v tomto experimentu spadá do tzv. třídy 2, což znamená, že přímý pohled do paprsku je možný, před poškozením oka chrání mrkací reflex. Předpokládá se ovšem, že mezi zasažením paprskem a mrknutím (případně odkloněním hlavy) neuběhne doba delší, než 0,25 s. Laserové ukazovátka (modrý LED laser) spadá do třídy 3a, nicméně, je umístěno v přípravku s optickým filtrem snižujícím jeho intenzitu, takže pro něj platí totéž co pro oba výše zmíněné lasery. Z tohoto důvodu optický filtr nikdy neodstraňujte!

Při měření se i tak držte následujících pokynů. Nedívejte se do laserového paprsku. Modrý a zelený laser mějte při manipulaci na optické lavici vypnutý. Při práci byste neměli mít nekryté hodinky či jiné šperky, které by se mohly dostat do dráhy laserového paprsku a způsobit jeho odraz. Po skončení měření vždy laser vypněte.

## 1.4 Použitá literatura

1. Petr Malý, *Optika*, Karolinum, Praha, 2008.
2. Michal Bednařík, Petr Koníček, Ondřej Jiříček, *Fyzika I a II – Fyzikální praktikum*, [skriptum], Vydavatelství ČVUT, Praha, 2003.
3. Josef Jelen, *Fyzika II*, [skriptum], Vydavatelství ČVUT, Praha, 2007.
4. Joseph Goodman, *Introduction to Fourier Optics*, McGraw-Hill, New York, 1996.

17. září 2014, Milan Červenka, [milan.cervenka@fel.cvut.cz](mailto:milan.cervenka@fel.cvut.cz)